

原始惑星系円盤の基礎的なシミュレーションと 卒業研究に向けた展望

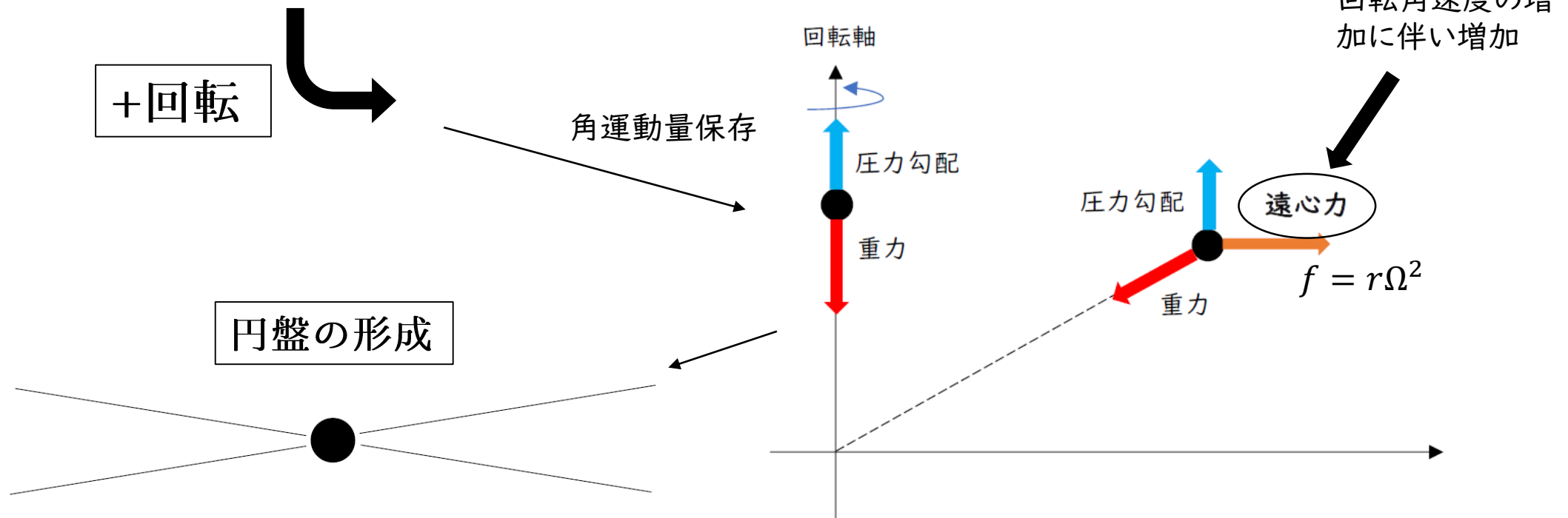
筑波大学

201610893 橋 拓海

原始惑星系円盤とは？

- ・ 太陽系やその他系外惑星はどのような過程で形成されたか？

…分子雲コア⇒自己重力での落下⇒恒星の形成……



- ・ もともと分子雲コアから生成されているのだから、円盤の成分の殆どは水素やヘリウム.

⇒ しかしその中に微量なダスト (FeやSiなど) が含まれており、それらは相互作用により合体成長していく. → 微惑星の形成 (~100万年)

⇒ 万有引力により微惑星同士が合体成長し、原始惑星をつくる (~1000万年)
→ この時点で殆どの原子惑星系円盤は観測できなくなる.

⇒ 繰り返される重力相互作用の結果、最終的に現在の太陽系のように、いち恒星のまわりを公転する複数個の惑星と矮惑星、その他無数の小天体を持つ系が構成される.

原始惑星系円盤の物理量

- 運動方程式(静水圧平衡)

$$-\frac{1}{\rho} \frac{dP}{dz} = \frac{GM}{r^2 + z^2} \frac{z}{\sqrt{r^2 + z^2}} \sim \frac{GMz}{r^3} \quad (z\text{方向})$$

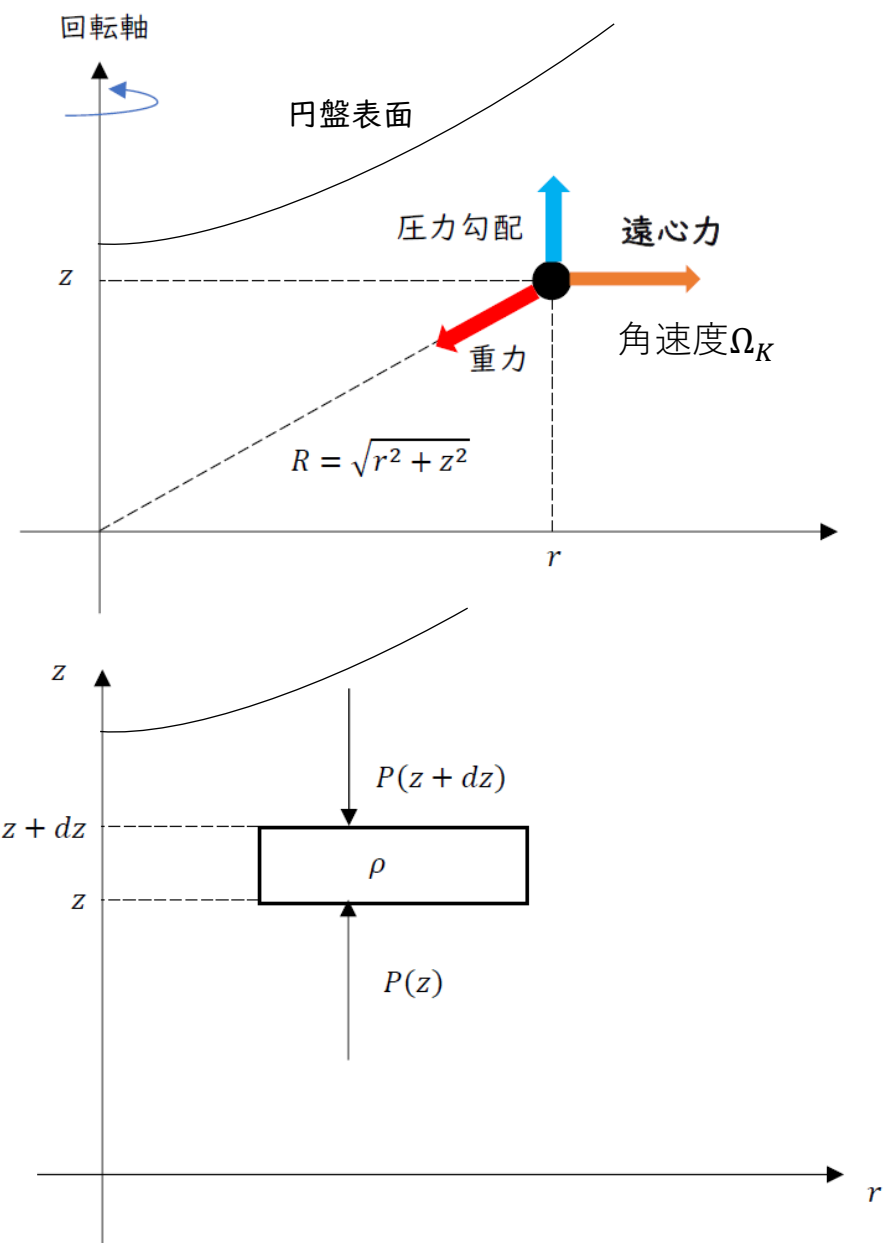
$$r\Omega_K^2 = \frac{GM}{r^2 + z^2} \frac{r}{\sqrt{r^2 + z^2}} \sim \frac{GM}{r^2} \quad (r\text{方向})$$

- 音速の式

$$c_s = \sqrt{\frac{dP}{d\rho}} = \frac{P}{\rho} \quad (\text{円盤ガスは理想気体で, } z\text{方向に等温})$$

これらより,

$$\frac{1}{\rho} \frac{d\rho}{dz} = -\frac{\Omega_K^2}{c_s^2} z \quad \rightarrow \quad \rho = \rho_0 \exp\left[-\frac{z^2}{2} \frac{\Omega_K^2}{c_s^2}\right]$$



- ・ 柱密度(密度をz方向に全範囲積分した量)

$$\int_{-\infty}^{\infty} \rho dz = \int_{-\infty}^{\infty} \rho_0 \exp \left[-\frac{z^2}{2} \frac{\Omega_K^2}{c_s^2} \right] dz = \rho_0 \sqrt{2\pi} \frac{c_s}{\Omega_K} \equiv \Sigma(r)$$

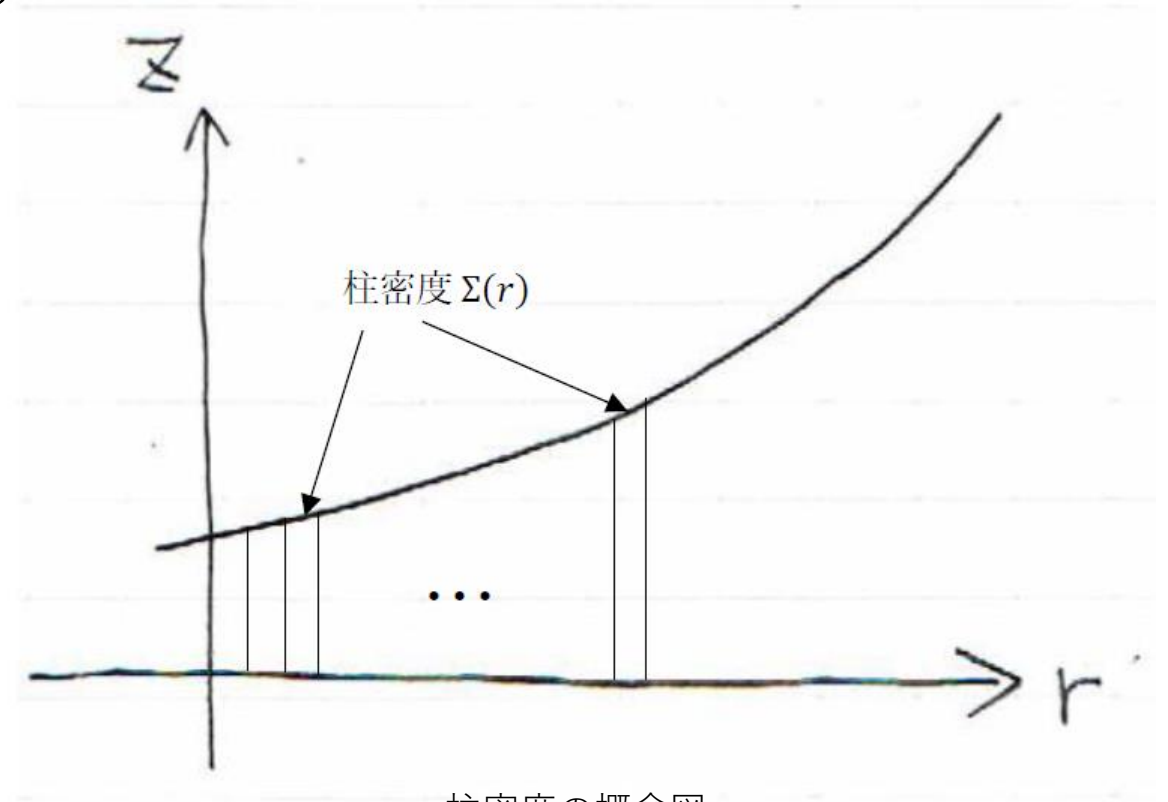
$$\therefore \rho_0 = \frac{\Sigma(r) \Omega_K}{\sqrt{2\pi} c_s}$$

これを密度の式に代入すれば,

$$\rho = \rho_0 \exp \left[-\frac{z^2}{2} \frac{\Omega_K^2}{c_s^2} \right] = \frac{\Sigma(r) \Omega_K}{\sqrt{2\pi} c_s} \exp \left[-\frac{z^2}{2} \frac{\Omega_K^2}{c_s^2} \right]$$

Ω_K/c_s を $1/h$ と置き換えると,

$$\rho = \frac{\Sigma(r)}{\sqrt{2\pi} h} \exp \left[-\frac{z^2}{2h^2} \right] \quad \dots (1)$$



柱密度の概念図

c.f 正規分布

$$f(z) = \frac{1}{\sqrt{2\pi}\sigma} \exp\left[-\frac{z^2}{2\sigma^2}\right]$$

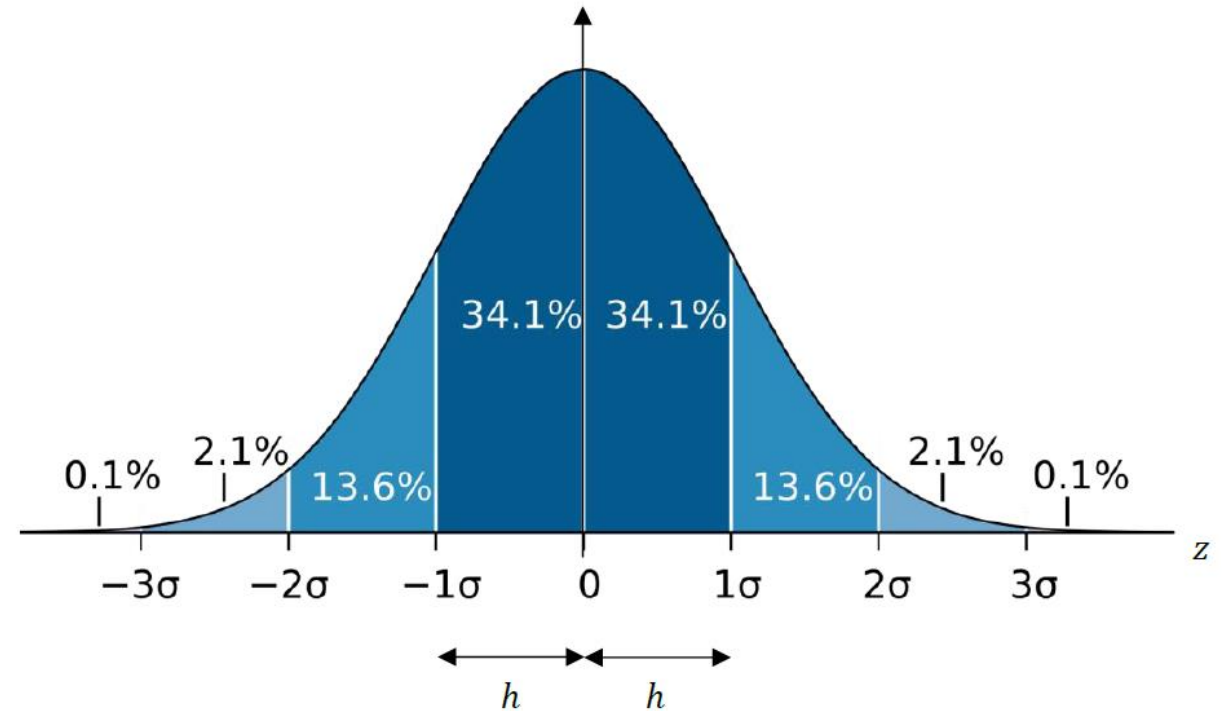
密度の式

$$\rho = \frac{\Sigma(r)}{\sqrt{2\pi}h} \exp\left[-\frac{z^2}{2h^2}\right] \quad \dots (1)$$

比較する…

正規分布における標準偏差 σ が
密度分布の h に対応.

$\Rightarrow h = \frac{c_s}{\Omega_K}$ を “スケールハイト” とし, 円盤の厚み(の半分)を表す量として用いる.



正規分布関数の概要

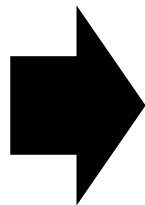
重要な物理量をまとめると

• 密度, 柱密度 $\rho = \frac{\Sigma(r)}{\sqrt{2\pi}h} \exp\left[-\frac{z^2}{2h^2}\right] \quad \dots (1)$

• スケールハイト $h = \frac{c_s}{\Omega_K} \quad \dots (2)$



円盤の密度やサイズに関する情報を得る



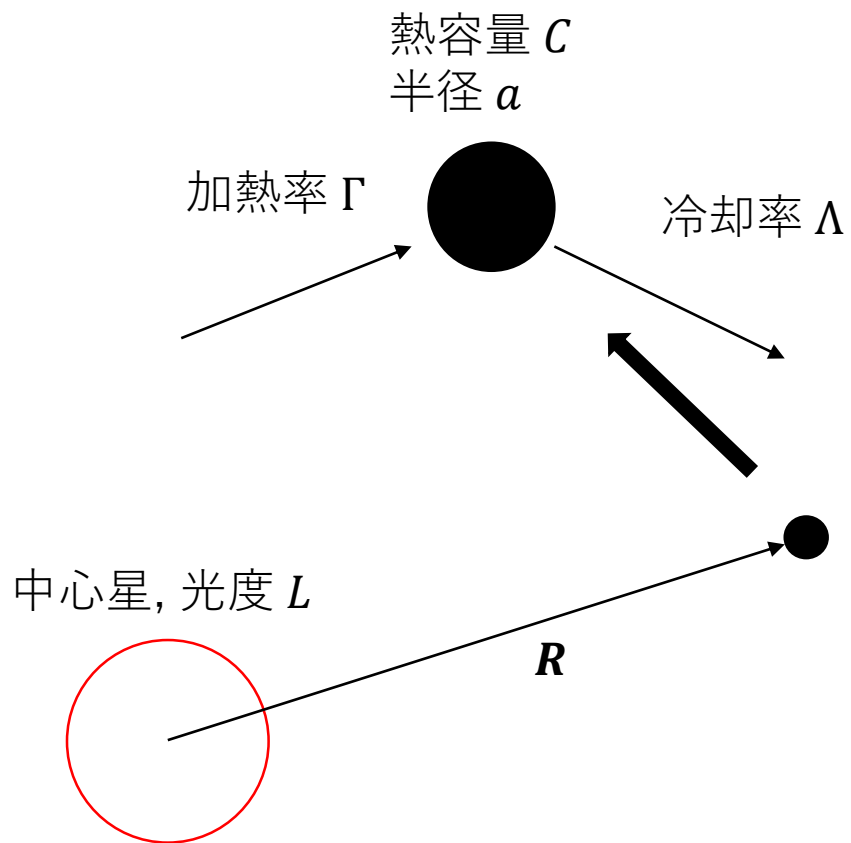
輻射輸送計算で円盤の温度を得る

$$c_s \sim 1.0 \times 10^5 \left(\frac{r}{1AU}\right)^{-1/4} \left(\frac{L}{L_\odot}\right)^{1/4} cm\ s^{-1}$$

$$\Omega_K \sim 3.0 \times 10^6 \left(\frac{r}{1AU}\right)^{-\frac{1}{2}} \left(\frac{M}{M_\odot}\right)^{\frac{1}{2}} cm\ s^{-1}$$

ダスト粒子の温度

- ・ 円盤のz方向には等温を仮定
- ・ 1粒子内における温度は一定(円盤に比べ小さすぎるため)



物体の温度 T の時間変化は

$$C \frac{dT}{dt} = \Gamma - \Lambda$$

加熱率 Γ は

$$\Gamma = Q_{vis} \pi a^2 \frac{L}{4\pi R^2} \quad Q_{vis} : \text{規格化された吸収係数}$$

冷却率 Λ は

$$\Lambda = Q_{IR} 4\pi a^2 \sigma_{SB} T^4 \quad Q_{IR} : \text{規格化された放射係数}$$

輻射平衡のもとでは

$$0 = Q_{vis} \pi a^2 \frac{L}{4\pi R^2} - Q_{IR} 4\pi a^2 \sigma_{SB} T^4 \quad \dots (3)$$

式(3)より, ダスト微粒子の温度は

$$0 = Q_{vis}\pi a^2 \frac{L}{4\pi R^2} - Q_{IR}4\pi a^2 \sigma_{SB}T^4 \quad \dots (3)$$

$$\therefore T = \left(\frac{Q_{vis}}{Q_{IR}} \frac{L}{16\sigma_{SB}\pi R^2} \right)^{1/4} \quad \dots (4)$$

ステファンボルツマン係数 $\sigma_{SB} = 5.70 \times 10^{-8} \text{ W} \cdot \text{m}^{-2} \cdot \text{K}^{-4}$ と太陽光度 $L_{\odot} = 3.84 \times 10^{26} \text{ W}$ を使い, 微粒子が黒体と見なせるとして温度を決めると,

$$T \sim 280 \left(\frac{L}{L_{\odot}} \right)^{\frac{1}{4}} \left(\frac{R}{1\text{AU}} \right)^{-\frac{1}{2}} \quad \text{K}$$

となる.

ダストはガスに比べ量は非常に少ないが, 放射の吸収能力は1000倍ほどであるため, 円盤の温度を考えるときは, まずダストの温度を考える必要がある.

⇒ところが, ガス分子は熱運動によりダストと衝突を繰り返し, エネルギーのやり取りをする. 故に最終的に**ダストの温度が円盤の温度**となる.

卒業研究に向けて

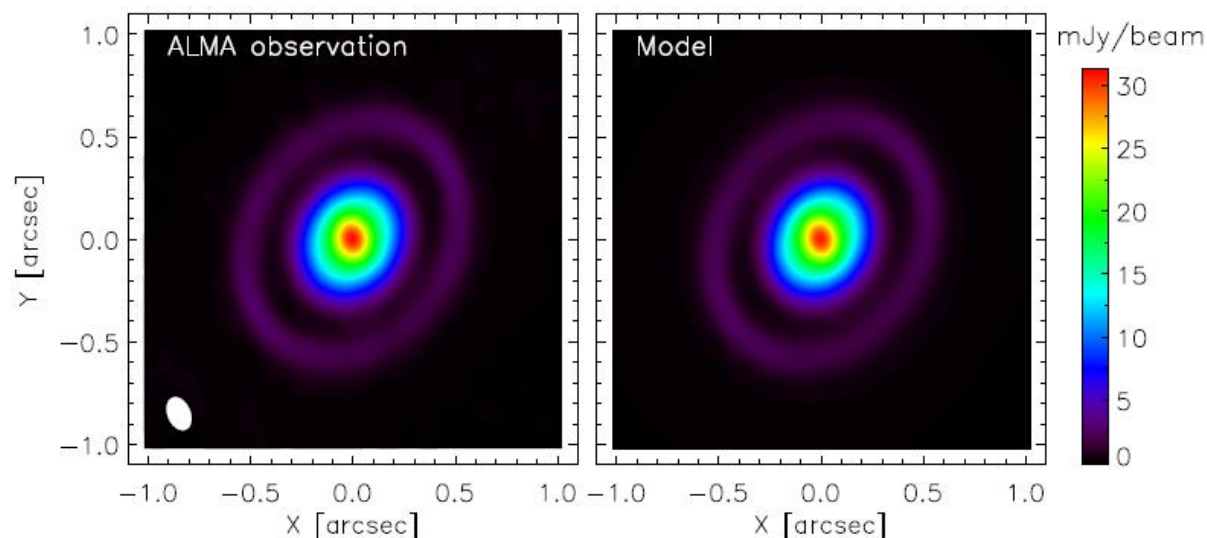
- ・ 目標

原子惑星系円盤”MRW480”のModel構築と理論的考察.

- ・ MRW480とは？

おうし座ぎょしゃ座暗黒星雲に存在するハービッグ Ae型星.

質量 $2.0M_{\odot}$ の前主系列星で, 原子惑星系円盤を持つ.



MRW480(Y.Liu et al.)

Y.Liu et al.(2018) をもとに, Modelの構築を行う.

初期値として柱密度とスケールハイトを仮定し, 輻射流体計算から温度と輝度を得て, ALMAによる観測データと比較し, その比率から柱密度とスケールハイトを修正し, 観測データに近付けていく.

⇒30回ほどの反復操作で収束する見込み.

輻射流体計算にはRadMC3dを用いる.

⇒中心星から大量の光子をランダムに放ち, ダストによる散乱, 吸収, 放射の過程を経て最終的にダストの温度を得る.

- ・ 柱密度とスケールハイトの設定

まず大前提として, ダスト粒子をそのサイズにより, SGPとLGPの2つに分けている.

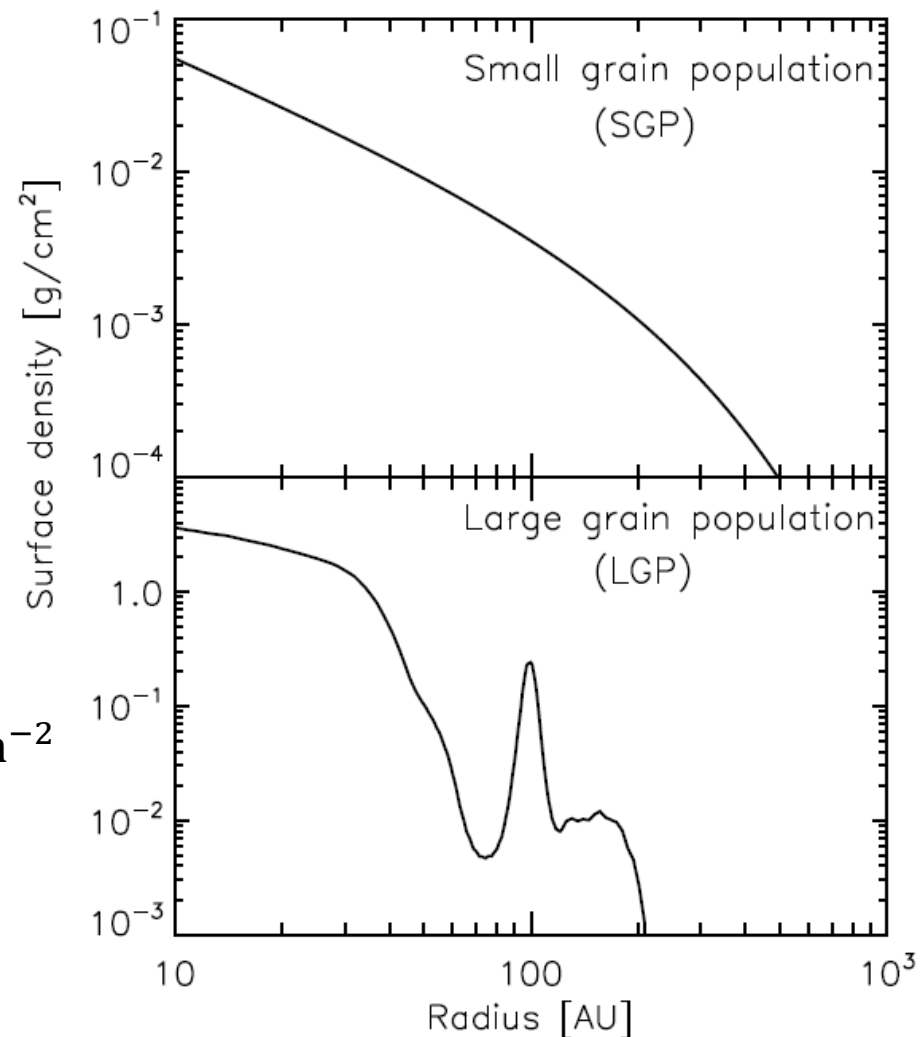
$$\begin{cases} a_{max} = 2 \mu m & (SGP) \\ a_{max} = 3 mm & (LGP) \\ a_{min} = 0.01 \mu m \end{cases}$$

また, ダストの構成粒子は炭素25%, アモルファスシリコン75%としている.

$$\Sigma_{SGP}(R) \propto \left(\frac{R}{200 \text{AU}} \right)^{-\gamma} \exp \left[- \left(\frac{R}{200 \text{AU}} \right)^{2-\gamma} \right] \quad \text{g cm}^{-2}$$

$$\rho_{SGP}(R, z) \propto \frac{\Sigma_{SGP}(R)}{h_{SGP}(R)} \exp \left[- \frac{1}{2} \left(\frac{z}{h_{SGP}(R)} \right)^2 \right]$$

$$h_{SGP} = H_{100} \times \left(\frac{R}{100 \text{AU}} \right)^{\beta} \quad \text{AU}$$



Surface Density(Y.Liu et al.)

・パラメータは以下のようにおく.

$$\left\{ \begin{array}{l} \gamma = 1.0 \\ \beta = 1.08^{+0.02}_{-0.02} \\ H_{100} = 12^{+2.1}_{-0.7} \text{ AU} \\ R_{in} = 0.15 \text{ AU} \\ R_{out,SGP} = 750 \text{ AU} \\ R_{out,LGP} = 200 \text{ AU} \end{array} \right.$$

LGPの密度分布とスケールハイトは, 円盤が複雑な構造をしている為に簡単な式では表せない. そこで, まずスケールハイトについて

$$h_{LGP} = \Lambda h_{SGP} \quad , \quad \Lambda = 0.25^{+0.04}_{-0.04}$$

とし, 初期値として100AUにおけるスケールハイトを

$$H_{100} = 10 \text{ AU} \quad , \quad \beta = 1.1,$$

と置いて, SGPの式に代入する. そして反復試行の後に柱密度を徐々に修正し, 最終的な値を決定する.

基礎的なシミュレーション

目的

- ・ 輻射流体計算プログラムRadMC3dとPythonに慣れる.
 - ・ 原子惑星系円盤のシミュレーション方法について, その一般的な方法を辿り, 理解を深める.
- ⇒ 基礎的な円盤として, 太陽系復元モデル(Hayashi et al. (1985))を採用.

Dust

現在の太陽系に対し, 地球型惑星(Si, Fe)と木星型惑星(氷, ケイ酸塩, Fe)の固体粒子の推定量をすりつぶし, 滑らかなダスト面密度分布を仮定.

Gas

太陽に落ちた水素・ヘリウムガスを, 太陽の元素組成と同じであると仮定. 滑らかな面密度分布を得る

手順

・ガス, ダスト双方について, まずスケールハイトと柱密度を決定する. まず柱密度については, 既に与えられているものを用いる.

$$\Sigma_{dust} = 7f_{ice} \left(\frac{r}{1\text{AU}} \right)^{-3/2} \text{ g cm}^{-2}$$

$$\Sigma_{gus} = 1700 \left(\frac{r}{1\text{AU}} \right)^{-3/2} \text{ g cm}^{-2}$$

$$f_{ice} = \begin{cases} 1 & (r < r_{ice}) \\ 4.2 & (r > r_{ice}) \end{cases}$$

$$r_{ice} = 2.7 \text{ AU}$$

f_{ice} はH₂Oの凝結による効果であり, 火星-木星間に存在する.

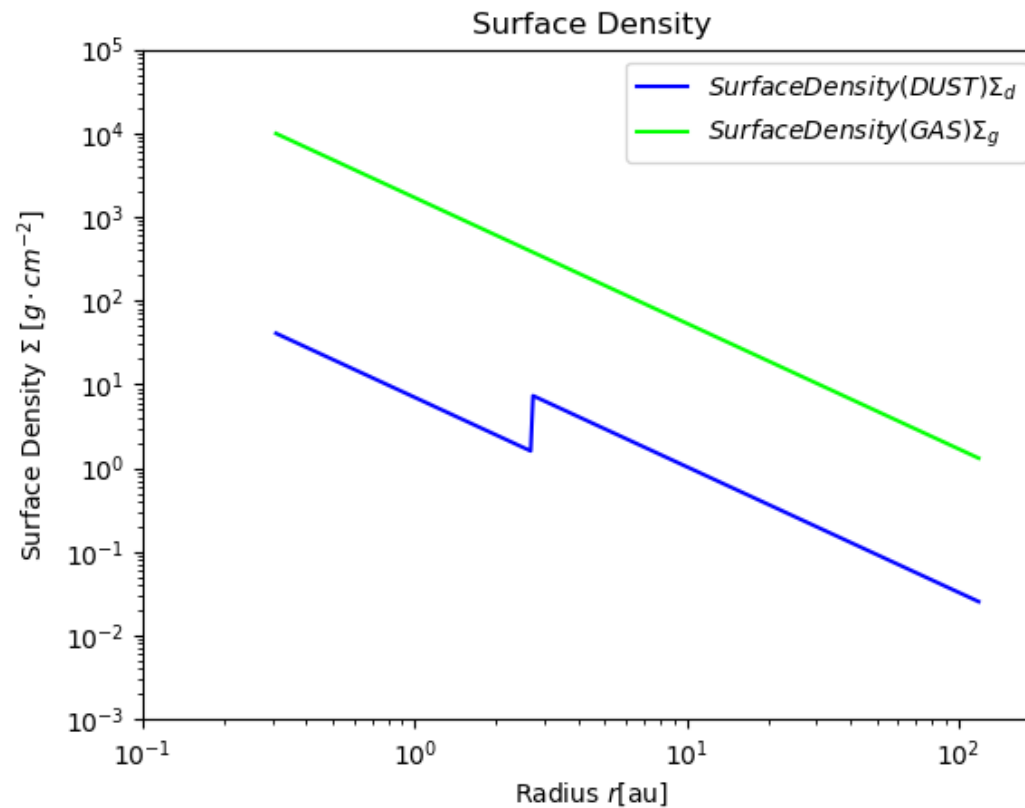
$$\rho = \frac{\Sigma(r)}{\sqrt{2\pi}h} \exp \left[-\frac{z^2}{2h^2} \right] \quad \dots (1) \quad h = 0.03 \left(\frac{r}{1\text{AU}} \right)^{5/4} \quad \dots (5) \quad T = 280 \left(\frac{L}{L_{\odot}} \right)^{1/4} \left(\frac{r}{1\text{AU}} \right)^{-1/2} \text{ K} \quad \dots (6)$$

スケールハイトはガスのそれであり, ダストは降着の影響でこれよりも小さくなると考えられる. しかし, 現時点で決定づける指標が存在しない為, この値をそのまま用いた.

円盤は円柱座標を用いて扱い, 構造は方位角方向に回転対称かつ, 円盤の高さ方向についても左右対称とする.

計算を行う範囲は, 動径方向に0.3 ~ 120 AU, 高さ方向に0 ~ 4 AU とした.

また, モンテカルロ法により放射する光子数は 1.0×10^6 とした.

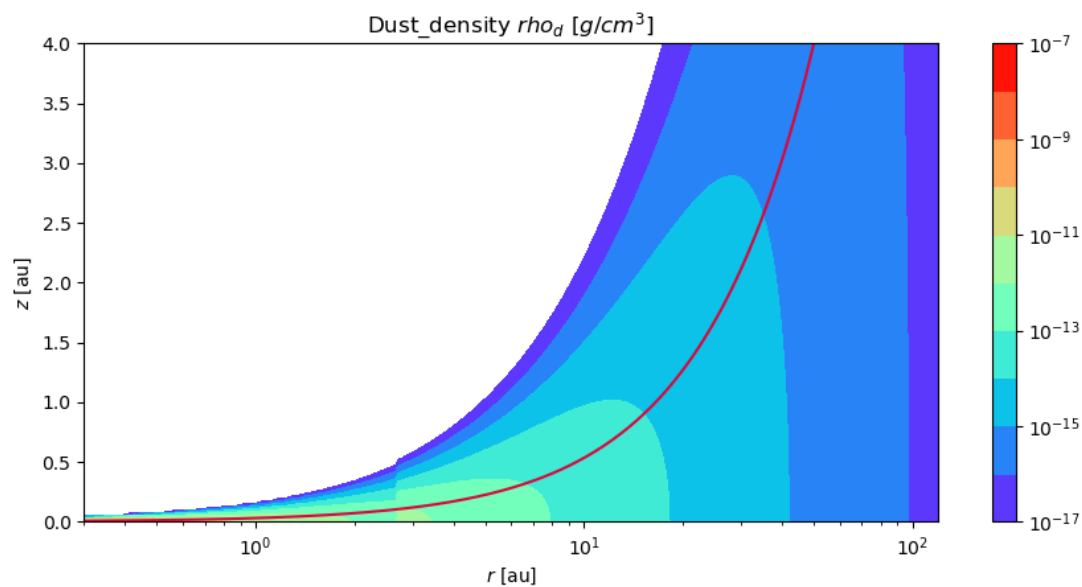
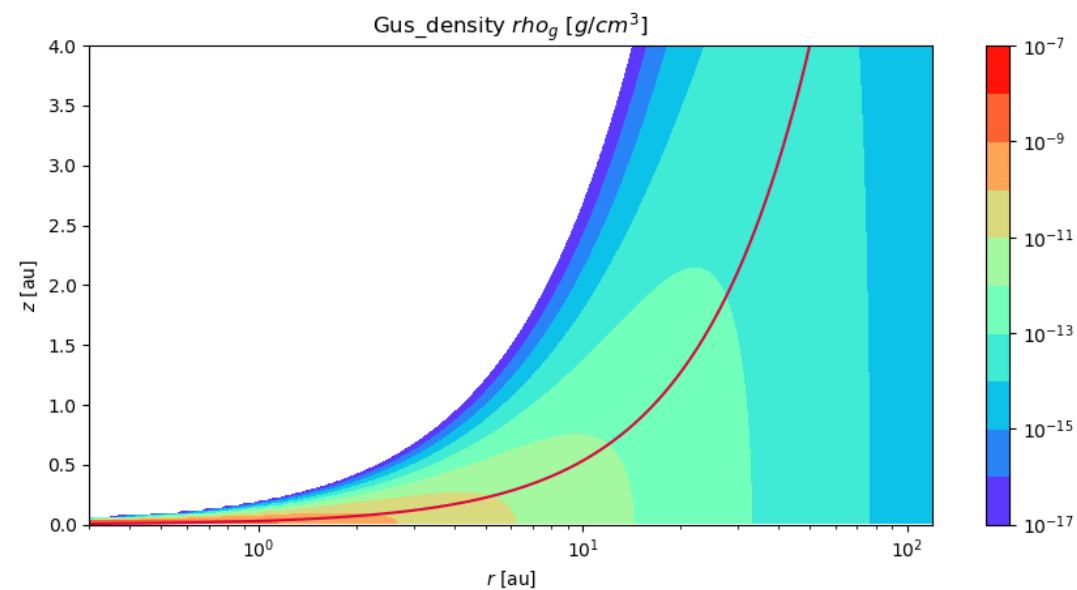
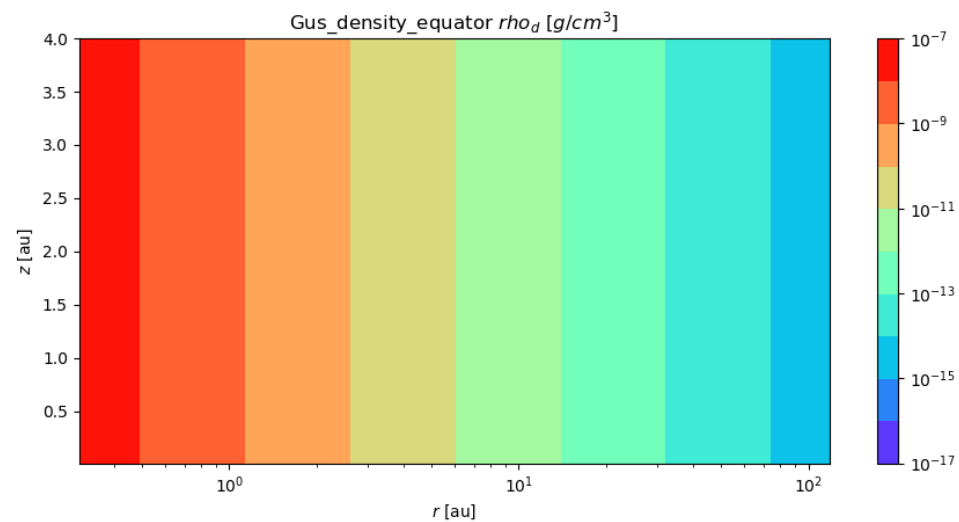


結果

- 密度分布 $\rho(r, z)$

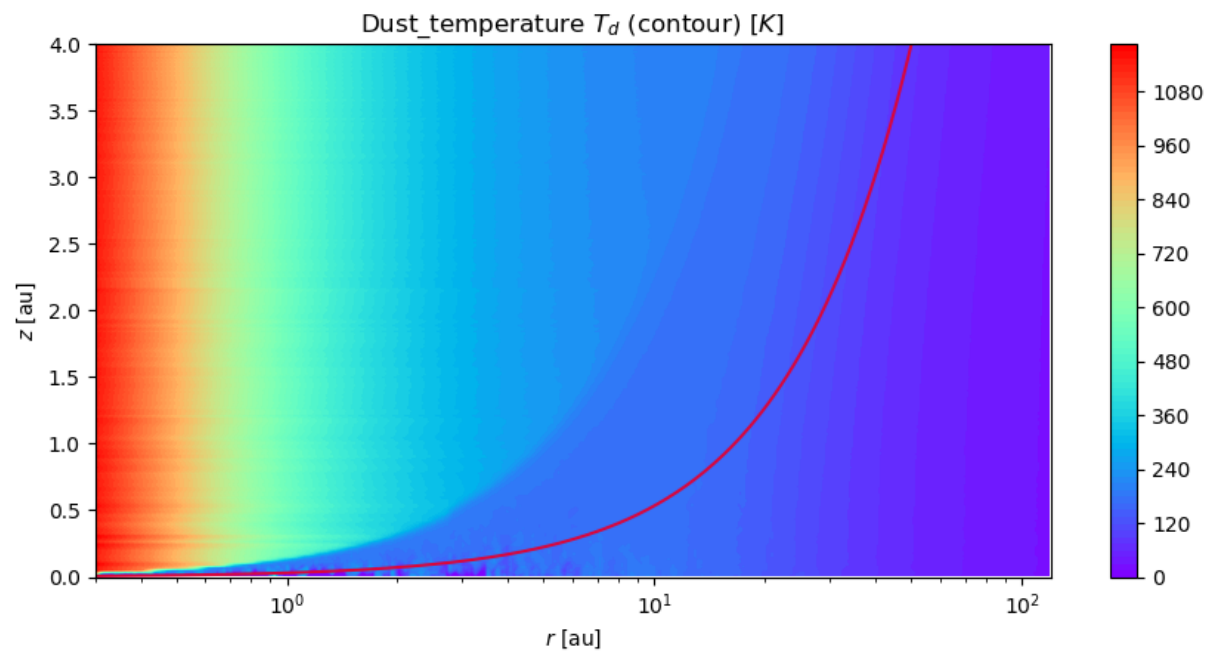
※赤道面のガス密度分布

$$\rho_{equator} = \rho(r, 0) = 1.4 \times 10^{-9} \left(\frac{r}{1\text{AU}} \right)^{-11/4} g\text{ cm}^{-3}$$



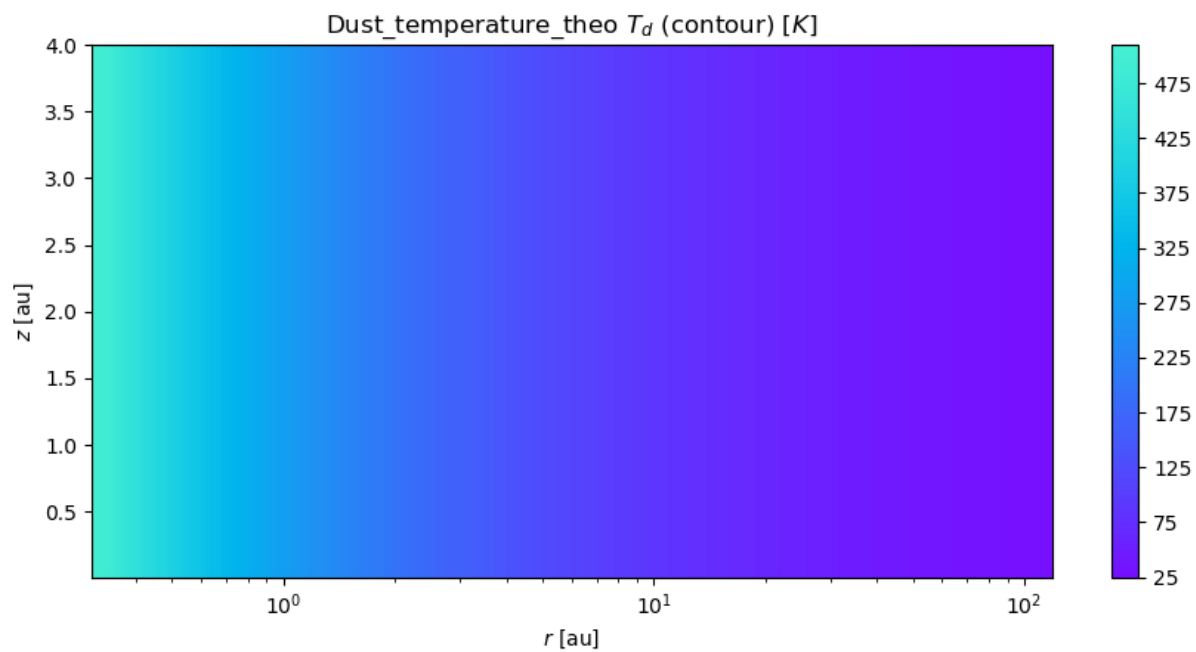
温度分布

RadMC3d
による結果



理論式(6)から
得た円盤温度

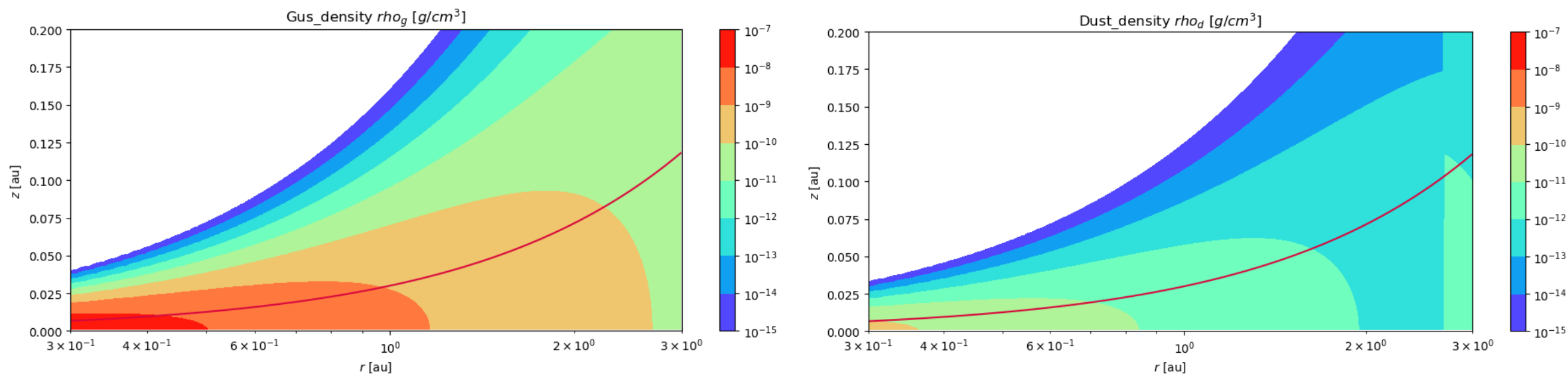
$$T = 280 \left(\frac{L}{L_{\odot}} \right)^{\frac{1}{4}} \left(\frac{r}{1\text{AU}} \right)^{-\frac{1}{2}} \text{ K} \quad \dots (6)$$



範囲を絞ってもう一度計算

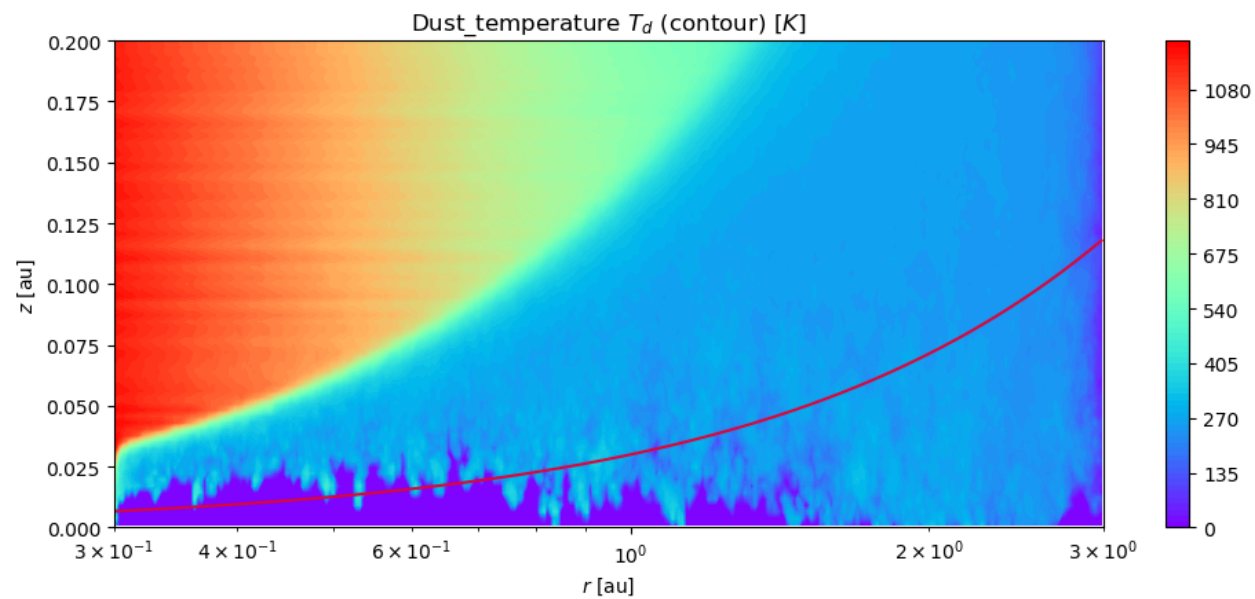
計算を行う範囲を、動径方向に $0.3 \sim 3.0$ AU, 高さ方向に $0 \sim 0.2$ AU とし, 細かく潰れてしまっている部分の密度分布と温度分布を得た.

密度分布

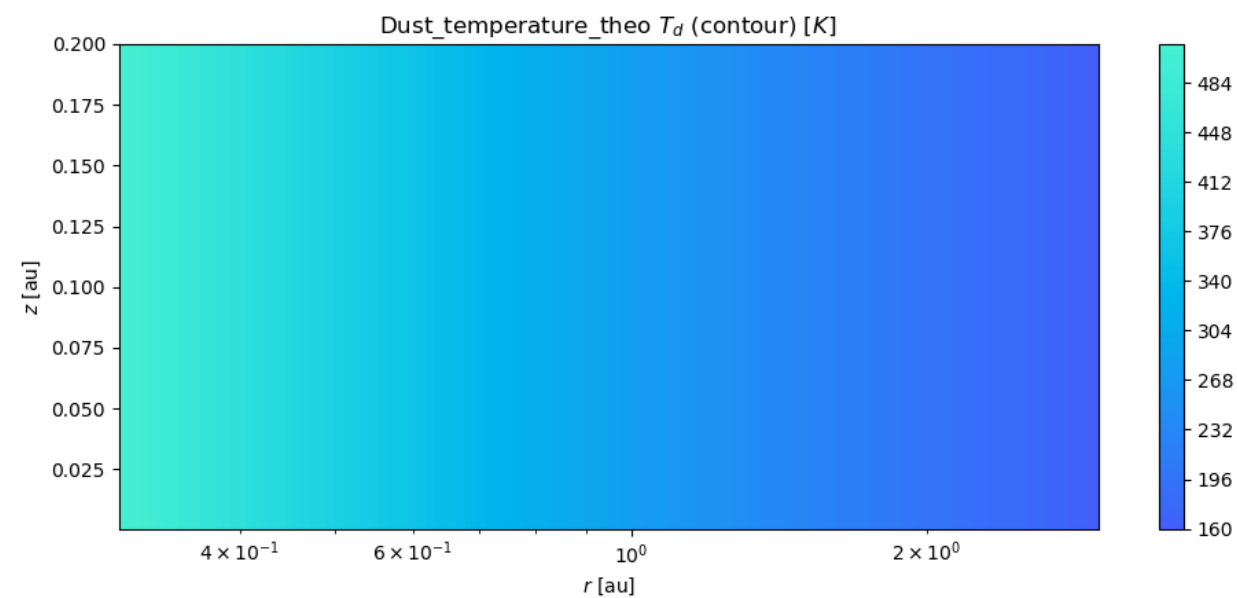


温度分布

RadMC3d
による結果



理論式(6)から
得た円盤温度



課題

- ・ 太陽系復元モデルに対するシミュレーションについて, ダストスケールハイトの設定の手順に大きな誤りがある. 早急にこれを修正する.
- ・ 温度分布について, 密度が 0 g cm^{-3} の部分に出現してしまっている温度分布の原因を探る. 現時点では全く不明である.
- ・ スペクトルエネルギー分布(SED)を得て, シミュレーションを行った原子惑星系円盤に対する情報量を増やす.
- ・ RadMC3dの計算方法に関する理解が遅れているため, Pythonの勉強と併せて進めて行く.